

ПРИМЕНЕНИЕ КВАНТОВОГО АЛГОРИТМА ГРОВЕРА В ЗАДАЧЕ ПОИСКА КЛЮЧА БЛОЧНОГО ШИФРА SDES

Д. В. Денисенко^{}, М. В. Никитенкова*

*Московский государственный технический университет им. Н. Э. Баумана
105005, Москва, Россия*

Поступила в редакцию 6 июля 2018 г.,
после переработки 6 июля 2018 г.
Принята к публикации 10 июля 2018 г.

Рассмотрена задача поиска ключа Simplified-DES — модели блочного шифра DES, с помощью квантового алгоритма Гровера. Рассмотрены примеры применения алгоритма Гровера. Построена минимальная по количеству кубитов квантовая схема, реализующая поиск ключа Simplified-DES по одной паре открытого и шифрованного текстов, для которой требуется 19 кубитов. Проведена симуляция работы построенной квантовой схемы с использованием квантового симулятора Quipper.

DOI: 10.1134/S0044451019010036

1. ВВЕДЕНИЕ

В настоящее время большое количество исследований направлено на создание квантовых симуляторов и квантовых процессоров: в 2017 г., на конференции ICQT 2017, группа физиков под руководством М. Лукина, сооснователя Российского квантового центра и профессора Гарвардского университета, сообщила о создании программируемого 51-кубитного квантового симулятора [1]. Примерно в это же время группа ученых из университета Мэриленда разработала 53-кубитный симулятор, основанный на ионах в оптических ловушках [2]. В компании IBM успешно испытали прототип квантового процессора из 50 кубитов [3], а в декабре 2017 г. опубликована статья [4], согласно которой представлен проект масштабируемого кремниевого квантового процессора, представляющий собой массив из $24 \times 20 = 480$ кубитов. В январе 2018 г. на выставке CES-2018 компания Intel сообщила о создании сверхпроводящего квантового чипа «Tangle Lake», состоящего из 49 кубитов. Intel ведет разработки квантовых компьютеров по двум направлениям: создание устройств на сверхпроводниках и кремниевых чипов со «спиновыми кубитами». В марте 2018 года компания Google объявила о создании 72-кубитного квантового процессора Bristlecone. В компании надеются, что

Bristlecone позволит продемонстрировать «квантовое превосходство» [5, 6].

Квантовые вычисления оказывают непосредственное влияние на защиту информации с помощью современных криптографических алгоритмов и протоколов. Например, возможность применения квантового алгоритма Шора [7] делает криптографическую систему RSA небезопасной, квантовый алгоритм Саймона [8] делает небезопасным использование блочных шифров в режимах CBC-MAC, PMAC, GMAC, GCM и OCB [9]. Квантовый алгоритм Гровера (см. [10–12]) в модели квантовых вычислений является аналогом метода полного перебора ключей алгоритмов шифрования. В работе [13] рассмотрена задача поиска ключа Simplified-DES (SDES) — уменьшенной модели блочного шифра DES — с помощью квантового алгоритма Гровера, представлено описание соответствующей квантовой схемы, реализующей поиск ключа SDES по одной известной паре блоков открытого и шифрованного текстов, использующий 61 кубит. Авторы работы [13] пользовались квантовым симулятором libquantum (см. [14]), однако исходные коды программ не были опубликованы.

В данной работе представлена квантовая схема, реализующая поиск ключа SDES по одной паре открытого и шифрованного текстов на 19 кубитах, верифицированная с помощью квантового симулятора Quipper (см. [15–17]), который, в отличие от libquantum, позволяет автоматически печатать квантовые схемы в PDF-файлы. Показано, что

* E-mail: DenisenkoDV@bmstu.ru

19 кубитов — минимальное количество логических кубитов, достаточное для реализации поиска ключа SDES по одной паре открытого и шифрованного текстов.

Главные цели настоящей работы — демонстрация применения квантового алгоритма Гровера в задаче поиска ключа учебного алгоритма блочного шифрования SDES и оценка минимального количества логических кубитов, необходимого для реализации такого поиска.

В Приложении 1 приведен контрольный пример SDES. Программная реализация применения алгоритма Гровера в задачах поиска одного и двух целевых значений в Wolfram Mathematica представлена в Приложениях 2 и 3. Программная реализация поиска ключа SDES квантовым алгоритмом Гровера в Quipper представлена в Приложении 4.

2. ОПИСАНИЕ АЛГОРИТМА SDES

Блочный шифр SDES — это двухраундовая сеть Фейстеля $E_{SDES} : V_{10} \times V_8 \rightarrow V_8$, у которой ключ $K \in V_{10}$, а блоки открытого и шифрованного текста — восьмибитные двоичные векторы (см. рис. 1).

Процедура зашифрования алгоритмом SDES представляет собой композицию отображений:

$$IP^{-1} \circ f_{k_2} \circ SW \circ f_{k_1} \circ IP.$$

Из основного ключа $K \in V_{10}$ формируются два раундовых ключа $k_1, k_2 \in V_8$. Сначала к ключу K применяется перестановка битов P10:

| | |
|--------------------|----------------------|
| P10 — перестановка | 3 5 2 7 4 10 1 9 8 6 |
|--------------------|----------------------|

Затем к каждой половине P10(K) применяется циклический сдвиг влево на 1 бит (LS-1), после чего из двух половинок снова формируется десятибитный ключ. Далее применяется P8 — выборка восьми битов с соответствующими номерами — и получается раундовый ключ k_1 :

| | |
|-------------------------------|------------------|
| P8 — выборка битов с номерами | 6 3 7 4 8 5 10 9 |
|-------------------------------|------------------|

Для формирования k_2 после применения LS-1 применяется циклический сдвиг влево на два бита (LS-2), затем применяется P8.

Рассмотрим первый раунд зашифрования блока открытого текста $P \in V_8$ алгоритмом SDES.

К открытому тексту P применяется перестановка битов IP:

| | |
|----|-----------------|
| IP | 2 6 3 1 4 8 5 7 |
|----|-----------------|

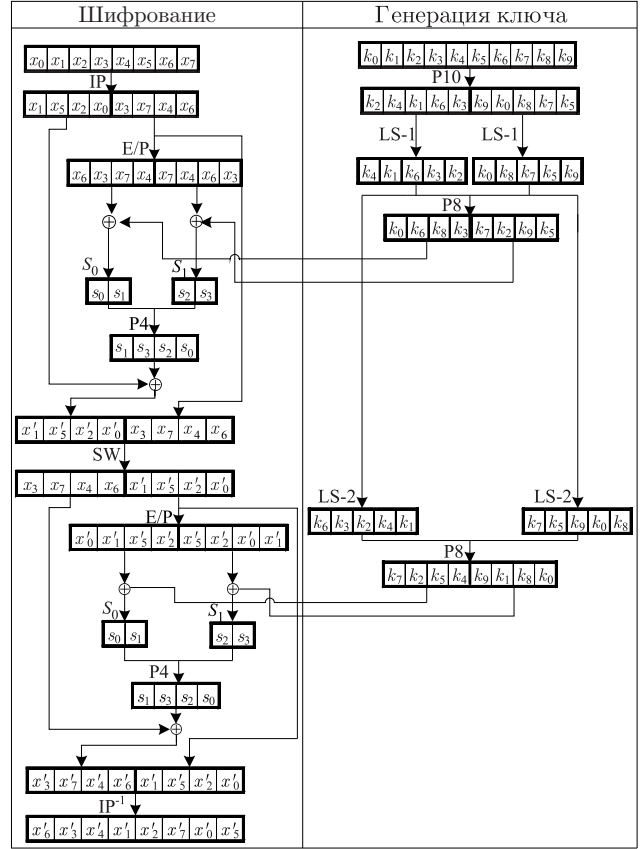


Рис. 1. Схема алгоритма SDES

Преобразование f_k определяется следующим образом. Пусть $P = L||R$, $L, R \in V_4$, тогда $f_k(L, R) = (L \oplus F(R, k), R)$.

Отображение $F(R, k) : V_4 \times V_8 \rightarrow V_4$ состоит из следующих последовательно применявшихся преобразований.

1. Процедура расширения E/P: $V_4 \rightarrow V_8$, выборка битов с соответствующими номерами:

| | |
|-----|-----------------|
| E/P | 4 1 2 3 2 3 4 1 |
|-----|-----------------|

2. XOR результата E/P с аргументом k .

3. Применение S-боксов. На каждый S-бокс подается 4-битный вектор, первый и четвертый биты которого образуют номер строки, а второй и третий образуют номера столбцов таблиц замен:

$$S_0 = \begin{bmatrix} 1 & 0 & 3 & 2 \\ 3 & 2 & 1 & 0 \\ 0 & 2 & 1 & 3 \\ 3 & 1 & 3 & 2 \end{bmatrix}, \quad S_1 = \begin{bmatrix} 0 & 1 & 2 & 3 \\ 2 & 0 & 1 & 3 \\ 3 & 0 & 1 & 0 \\ 2 & 1 & 0 & 3 \end{bmatrix}.$$

Нумерация строк и столбцов начинается с нуля. Пример: $S_0(1010) = 10$, так как в строке с номером 10 (третья строка) и столбце с номером 01 (второй

столбец) в таблице замен S_0 стоит число 2, которое в двоичной системе счисления записывается как 10.

Координатные функции S_0 имеют вид

$$y_0(x_0, x_1, x_2, x_3) = x_3 \oplus x_1 \bar{x}_0 \oplus x_0 x_2 \oplus x_0 x_1 x_2 x_3,$$

$$y_1(x_0, x_1, x_2, x_3) = \bar{x}_0 \bar{x}_2 \oplus x_0 \bar{x}_3 \oplus x_0 \bar{x}_1 \oplus x_0 x_1 \bar{x}_2 x_3.$$

Координатные функции S_1 имеют вид

$$y_0(x_0, x_1, x_2, x_3) = x_1 \oplus \bar{x}_2 x_3 \oplus x_0 \bar{x}_3 \oplus x_0 \bar{x}_1 x_2 \bar{x}_3,$$

$$y_1(x_0, x_1, x_2, x_3) = x_2 \bar{x}_3 \oplus x_0 \bar{x}_3 \oplus \bar{x}_0 x_1 x_3 \oplus x_0 x_2 x_3.$$

4. К 4-битному выходу из S-боксов применяется перестановка битов P4:

| | |
|----|---------|
| P4 | 2 4 3 1 |
|----|---------|

5. Побитовый XOR с левой половиной IP(P).

6. Перестановка полубайтов SW: $V_8 \rightarrow V_8$, $SW(L, R) = (R, L)$.

Второй раунд выполняется аналогично первому, только с ключом k_2 . После выполнения второго раунда применяется IP^{-1} :

| | |
|------------------|-----------------|
| IP ⁻¹ | 4 1 3 5 7 2 8 6 |
|------------------|-----------------|

В результате получим блок зашифрованного текста $C = E_{SDES}(K, P)$, $C \in V_8$.

3. АЛГОРИТМ ГРОВЕРА

Пусть имеется пронумерованное множество из $N = 2^n$ элементов и необходимо найти хотя бы один элемент из этого множества, удовлетворяющий некоторому критерию поиска, при этом множество элементов, удовлетворяющих выбранному критерию поиска, не является пустым и состоит из M элементов, $M \leq N/2$ (см. [12], с. 318).

Можно считать, что задана некоторая булева функция $f : V_n \rightarrow V_1$, причем $f(x) = 1$ тогда и только тогда, когда элемент множества с номером x удовлетворяет критерию поиска. При этом считается, что указанная функция f может быть эффективно реализована в виде квантовой схемы.

При решении задачи поиска на классическом вычислителе в общем случае необходимо перебрать все элементы рассматриваемого множества, что в итоге дает трудоемкость порядка $O(N/M)$, в то время как квантовый алгоритм Гровера (см. [10–12]) при решении указанной задачи на квантовом вычислителе имеет трудоемкость $O(\sqrt{N/M})$.

Для произвольного блочного шифра задача поиска ключа с помощью квантового алгоритма Гровера формулируется следующим образом. Рассмотрим блочный шифр с длиной ключа n битов и длиной блока m битов $E: V_n \times V_m \rightarrow V_m$. Известно некоторое количество пар открытых и шифрованных текстов, полученных на одном и том же неизвестном ключе $K \in V_n$, $C_i = E(K, P_i)$, $i \in \overline{1, t}$, и решается стандартная задача по восстановлению ключа. Для однозначного восстановления ключа, исходя из расстояния единственности шифра [18], количество пар текстов должно быть не менее $t = \lceil n/m \rceil$.

В этом случае с большой вероятностью ключ будет единственным, а соответствующая булева функция $f: V_n \rightarrow V_1$ определяется следующим образом:

$$f(x) = \bigwedge_{i=1}^t z(E(x, P_i) \oplus C_i),$$

где $z: V_m \rightarrow V_1$, причем $z(x) = 1$, если $x = 0^m$, и $z(x) = 0$ в противном случае.

Отметим, что в работе [13] поиск ключа осуществлен только по одной паре открытого и шифрованного текстов (P, C), рассматриваются два случая: в первом — у пары (P, C) нет эквивалентных ключей (т. е. существует ровно один ключ, на котором блок открытого текста P переходит в блок шифрованного текста C), во втором — у пары (P, C) два эквивалентных ключа. В данной работе, следуя работе [13], поиск ключа SDES организован по одной паре открытого и шифрованного текстов, рассмотрены те же примеры, что и в работе [13].

В Приложениях 2 и 3 представлены программные реализации, демонстрирующие преобразование амплитуд квантовых состояний в процессе выполнения алгоритма Гровера в задачах поиска одного и двух целевых значений соответственно, т. е. рассмотрены случаи, когда $M = 1$ и $M = 2$.

Алгоритм 1. Алгоритм Гровера

Вход. Множество $\{a_1, a_2, \dots, a_N\}$ из $N = 2^n$ элементов, $f: V_n \rightarrow V_1$, $f(x) = 1$ тогда и только тогда, когда a_x удовлетворяет некоторому критерию поиска, где x — номер элемента a_x в двоичной системе счисления, т. е. $x \in V_n$.

Выход. С вероятностью $p > 1/2$ произвольный $a_{x'}: f(x') = 1$.

1. Инициализация $n + 1$ кубитов в состояние $|\psi_0\rangle = |0\rangle^{\otimes n} |1\rangle$, дополнительные рабочие кубиты инициализируются в зависимости от функции f .

2. Применение гейтов Адамара H , получим

$$|\psi_1\rangle = \frac{1}{\sqrt{N}} \sum_{i=0}^{N-1} |i\rangle \otimes \frac{|0\rangle - |1\rangle}{\sqrt{2}}.$$

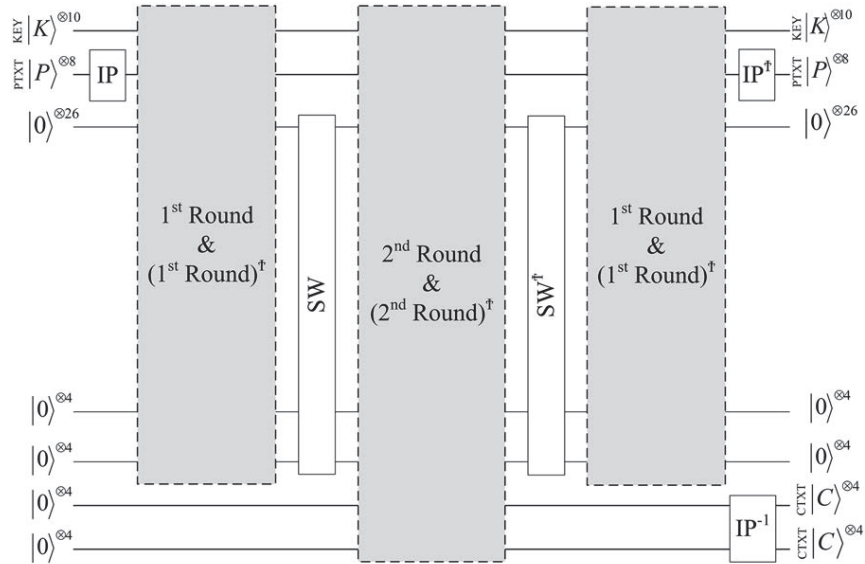


Рис. 2. Реализация SDES в виде квантовой схемы

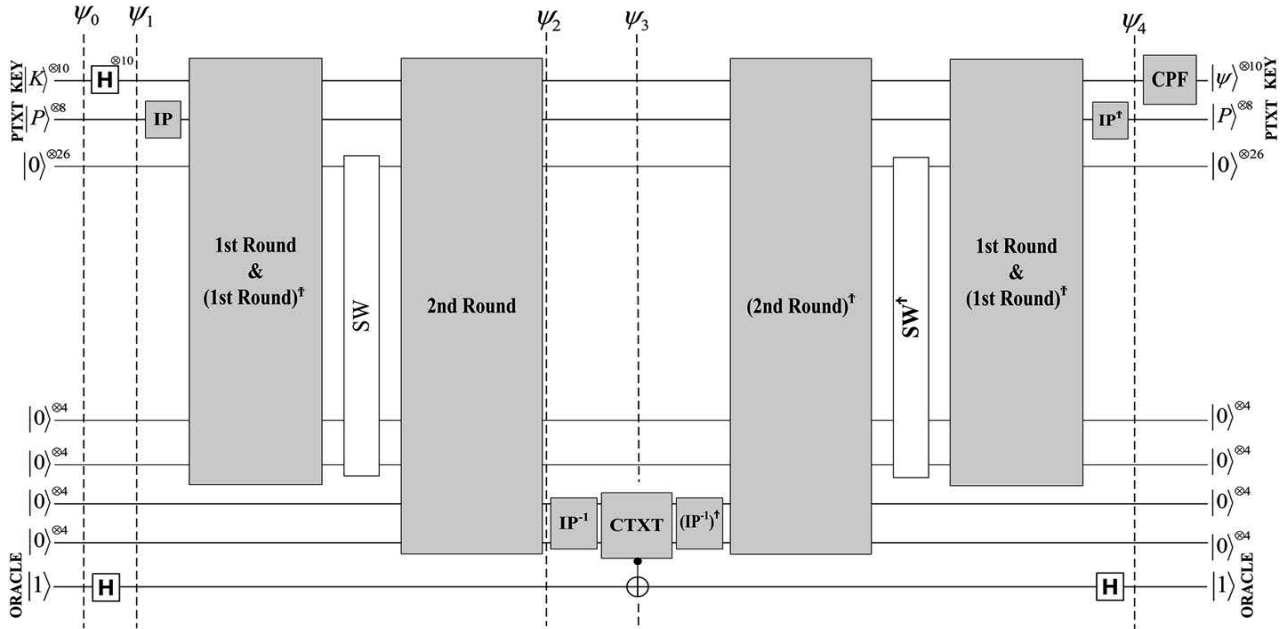


Рис. 3. Квантовая схема одной итерации Гровера

3. Применение «итерации Гровера» $(\pi/4)\sqrt{N/M}$ раз:

a) изменение знака у амплитуды целевого состояния, для всех $i \in \overline{0, N - 1}$ (в книге [12] — применение оракула O)

$$|i\rangle \xrightarrow{O} (-1)^{f(i)} |i\rangle;$$

б) инверсия относительно среднего (увеличение вероятности получить одно из целевых значений, в [12] — применение оператора $2|\psi\rangle\langle\psi| - I$, где I — единичная матрица размером $2^n \times 2^n$):

- применить оператор $H^{\otimes n}$;
- применить оператор $2|0\rangle\langle 0| - I$;
- применить оператор $H^{\otimes n}$.

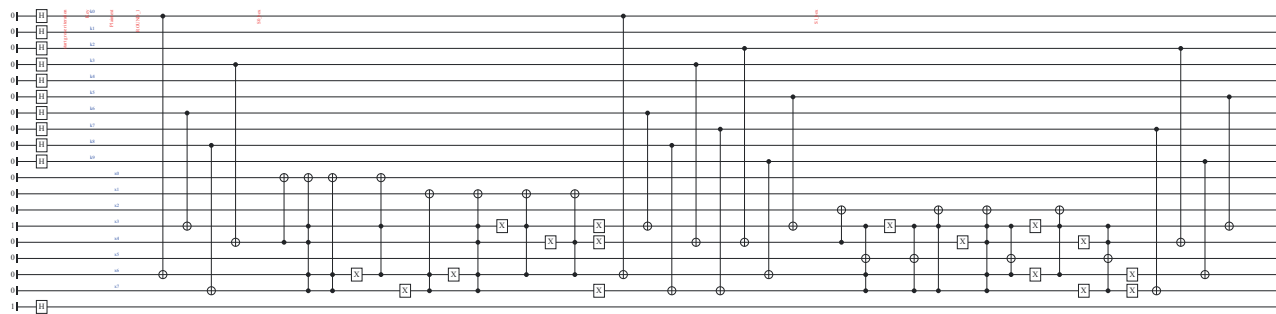


Рис. 4. Первая часть схемы: первый раунд SDES

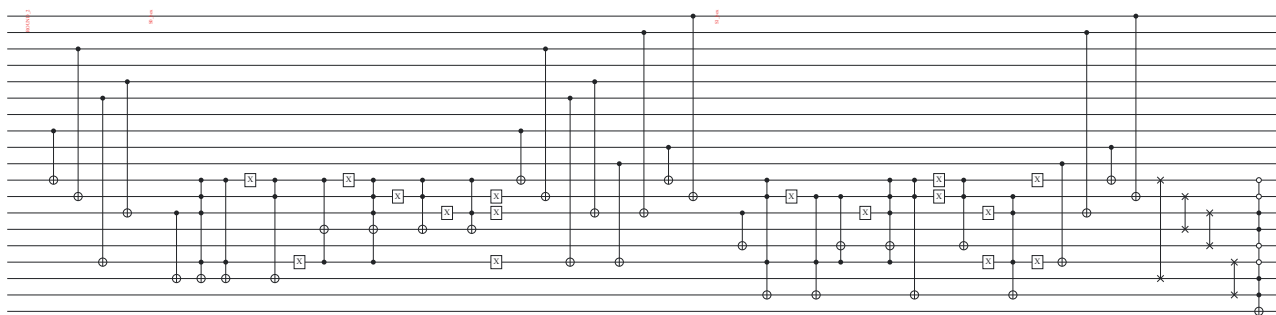


Рис. 5. Вторая часть схемы: второй раунд SDES, инвертирование нижнего кубита

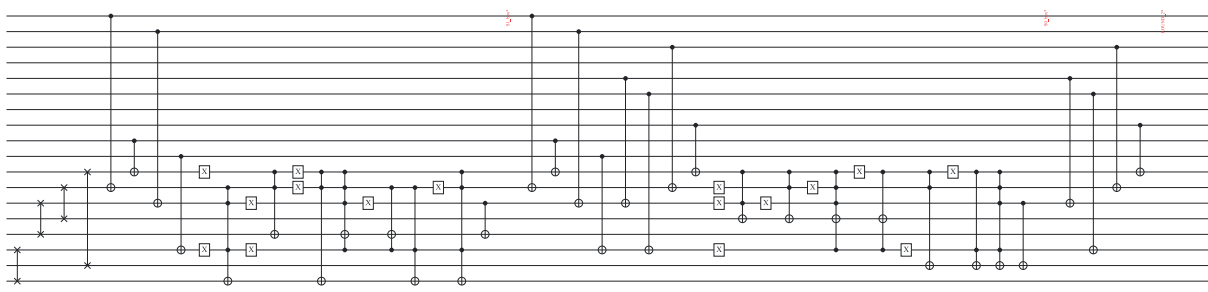


Рис. 6. Третья часть схемы: обратное преобразование второго раунда SDES

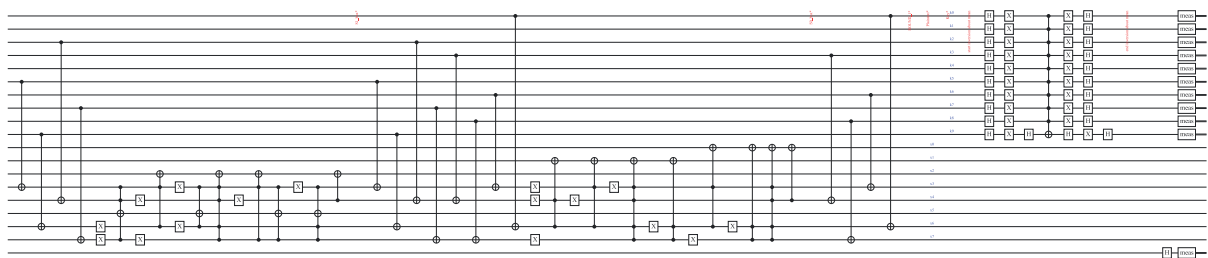


Рис. 7. Четвертая часть схемы: обратное преобразование первого раунда SDES, рассеивание Гровера, измерение кубитов

Таблица 1. Распределение вероятностей ключей после 25 итераций Гровера при поиске ровно одного целевого значения

| Ключ SDES | Вероятность получить в результате измерения кубитов соответствующий ключ |
|-------------|--|
| 00000 00000 | $5.26642 \cdot 10^{-7}$ |
| 00000 00001 | $5.26642 \cdot 10^{-7}$ |
| : | : |
| 11000 10011 | 0.99946124 |
| : | : |
| 11111 11110 | $5.26642 \cdot 10^{-7}$ |
| 11111 11111 | $5.26642 \cdot 10^{-7}$ |

Таблица 2. Распределение вероятностей ключей после 18 итераций Гровера при поиске одного из двух целевых значений

| Ключ SDES | Вероятность получить в результате измерения кубитов соответствующий ключ |
|-------------|--|
| 00000 00000 | $4.118199 \cdot 10^{-6}$ |
| 00000 00001 | $4.118199 \cdot 10^{-6}$ |
| : | : |
| 00100 10111 | 0.4978955 |
| : | : |
| 00110 11111 | 0.4978955 |
| : | : |
| 11111 11110 | $4.118199 \cdot 10^{-6}$ |
| 11111 11111 | $4.118199 \cdot 10^{-6}$ |

4. Измерение кубитов, с вероятностью $p > 1/2$ получим произвольный $a_{x'} : f(x') = 1$.

4. КВАНТОВАЯ СХЕМА SDES И АЛГОРИТМА ГРОВЕРА

В работе [13] представлена реализация SDES в виде квантовой схемы на 60 кубитах и квантовая схема алгоритма Гровера на 61 кубите (рис. 2, 3):

- 1) 10 кубитов для записи ключа;
- 2) 8 кубитов для записи блока открытого текста;
- 3) 8 кубитов для записи блока зашифрованного текста;
- 4) 34 кубита — рабочее пространство для записи результатов промежуточных вычислений.

На рис. 4–7 представлена более эффективная квантовая схема итерации Гровера (по сравнению с квантовой схемой, описанной в [13]), реализующая поиск ключа SDES по одной паре открытого и зашифрованного текста, финальное измерение кубитов. Программная реализация поиска ключа SDES в квантовом симуляторе Quipper приведена в Приложении 4.

Рассмотрим два случая.

В первом случае выберем в качестве блока открытого текста $P = 00010000$, в качестве блока зашифрованного текста $C = 00110011$. Для такой пары (P, C) существует единственный ключ $K = 1100010011$, на котором $E_{SDES}(K, P) = C$.

Во втором случае выберем $P = 10100101$ и $C = 00110110$. Для такой пары (P, C) существуют два ключа

$$K_1 = 0010010111 \text{ и } K_2 = 0011011111,$$

на которых $E_{SDES}(K_i, P) = C$, $i \in \{1, 2\}$.

В соответствии с теоретической оценкой количества итераций Гровера, в первом случае оптимальное количество итераций Гровера составляет

$$R = \frac{\pi}{4} \sqrt{\frac{N}{M}} = \frac{\pi}{4} \sqrt{\frac{1024}{1}} \approx [25.1327] = 25,$$

а во втором случае —

$$R = \frac{\pi}{4} \sqrt{\frac{N}{M}} = \frac{\pi}{4} \sqrt{\frac{1024}{2}} \approx [17.7715] = 18.$$

В табл. 1 представлено распределение вероятностей ключей после 25 итераций Гровера при $P = 00010000$ и $C = 00110011$ (первый случай), полученное с помощью квантового симулятора Quipper.

В табл. 2 представлено распределение вероятностей ключей после 18 итераций Гровера при $P = 10100101$ и $C = 00110110$ (второй случай), также полученное с помощью квантового симулятора Quipper. Заметим, что ключи $0010010111_{10} = 151$ и $0011011111_{10} = 223$, т. е. соответствуют TargetValues $\in \{151, 223\}$ в задаче, рассмотренной в Приложении 3. Сумма вероятностей

$$P(K = 151_2) + P(K = 223_2) = 2 \cdot 0.4978955 \equiv 0.995791$$

Таблица 3

| Количество итераций Гровера | Характеристики квантовых схем, время их симуляции в Quipper на процессоре Intel Core i7-4470K 3.50 ГГц |
|---|---|
| Одна итерация Гровера | <p>Quantum exhaustive key search (1 key):</p> <p>34: "H, arity 1" 17: "Init0" 2: "Init1" 11: "Meas" 84: "X, arity 1" 72: "not, arity 1 controls 1" 36: "not, arity 1 controls 2" 8: "not, arity 1 controls 3" 12: "not, arity 1 controls 4" 1: "not, arity 1 controls 4+4" 1: "not, arity 1 controls 9" 8: "swap, arity 2" Total gates: 286 Inputs: 0 Outputs: 19 Qubits in circuit: 19 Время работы: 290.288319 с</p> |
| 25 итераций Гровера (поиск одного ключа) | <p>Quantum exhaustive key search (1 key):</p> <p>562: "H, arity 1" 17: "Init0" 2: "Init1" 11: "Meas" 2100: "X, arity 1" 1800: "not, arity 1 controls 1" 900: "not, arity 1 controls 2" 200: "not, arity 1 controls 3" 300: "not, arity 1 controls 4" 25: "not, arity 1 controls 4+4" 25: "not, arity 1 controls 9" 200: "swap, arity 2" Total gates: 6142 Inputs: 0 Outputs: 19 Qubits in circuit: 19 Время работы: 7665.869522 с</p> |

Продолжение таблицы 3

| Количество итераций Гровера | Характеристики квантовых схем, время их симуляции в Quipper на процессоре Intel Core i7-4470K 3.50 ГГц |
|--|---|
| 18 итераций Гровера (поиск одного из двух ключей) | <p>Quantum exhaustive key search (2 keys):</p> <p>408: "H, arity 1" 14: "Init0" 5: "Init1" 11: "Meas" 1512: "X, arity 1" 1296: "not, arity 1 controls 1" 648: "not, arity 1 controls 2" 144: "not, arity 1 controls 3" 216: "not, arity 1 controls 4" 18: "not, arity 1 controls 4+4" 18: "not, arity 1 controls 9" 144: "swap, arity 2" Total gates: 4434 Inputs: 0 Outputs: 19 Qubits in circuit: 19 Время работы = 6593.336957 с</p> |

Таблица 4. Распределение квантовых вентилей по операциям SDES из работы [13]

| | |
|------------------------|---|
| E/P | 8 CNOT |
| XOR полубайтов | 4 CNOT |
| P4 | 4 CNOT |
| XOR с раундовым ключом | 8 CNOT |
| SWAP | 12 CNOT |
| Для каждого S-бокса | 2 × 32 вентиля X 2 × 48 Тоффоли 2 × 32 CNOT |

совпадает с вероятностью успеха алгоритма Гровера после 18 итераций в табл. 7, рассчитанной в Wolfram Mathematica (см. Приложение 3).

Сводные данные по характеристикам построенных квантовых схем представлены в табл. 3.

Таблица 5. Сравнение количества вентилей в одной итерации Гровера

| Операция | В работе [13] | На рис. 4–7 |
|-----------------|---------------|-------------|
| X | 404 | 84 |
| H | 34 | 34 |
| CNOT | 936 | 72+24 |
| Тоффоли | 576 | 36 |
| Обобщенный CNOT | 2 | 22 |

В предложенной квантовой схеме используются так называемые обобщенные вентили (гейты) $\text{CNOT}(n)$ — вентили с одним контролируемым кубитом и n контролирующими кубитами, для реализации которых не требуются дополнительные рабочие кубиты (см. [12], с. 236).

Нас интересует минимальная оценка количества логических кубитов для реализации алгоритма Гровера в задаче поиска ключа SDES. Отображение $E_{SDES}: V_{10} \times V_8 \rightarrow V_8$ состоит из 8 булевых координатных функций $f_i(x_1, \dots, x_{10+8})$, $i \in \overline{1, 8}$, зависящих от 18 переменных. Для того чтобы построить квантовую схему, реализующую изменение знака амплитуды искомого состояния (см. алгоритм Гровера), требуется не менее 18 кубитов для реализации SDES и еще один флаговый кубит. Таким образом, на рис. 4–7 представлена минимальная по количеству логических кубитов квантовая схема, реализующая поиск ключа SDES с помощью алгоритма Гровера по одной паре открытого и шифрованного текстов.

Сравним общее количество квантовых вентилей в одной итерации Гровера. В работе [13] подсчету квантовых вентилей посвящен раздел «Complexity analysis», но их общее количество явно не приведено. Согласно [13], процедура выработки раундовых ключей SDES интегрирована в один шаг и требует 8 вентилей CNOT, распределение вентилей по остальным операциям SDES приведено в табл. 4.

В соответствии с алгоритмом зашифровывания SDES и табл. 4, пользуясь рис. 2 и 3, можем посчитать общее количество вентилей в квантовой схеме одной итерации Гровера из работы [13]. При подсчете необходимо учитывать процедуру обращения раундовых преобразований (количество вентилей, участвующих в раундовых преобразованиях, умножается на два), инвертирование флагового кубита (требуется один обобщенный CNOT), рассеивание Гровера (еще один обобщенный CNOT), а также тот факт, что перестановка двух кубитов (SWAP) выполняется с помощью трех CNOT.

В квантовой схеме на рис. 4–7 операции IP, P10, P8, E/P, LS-1, LS-2, P4 реализованы без использования каких-либо вентилей, что достигается простой перенумерацией кубитов, которую можно рассчитать заранее.

В табл. 5 представлено сравнение количества вентилей в одной итерации Гровера.

5. ЗАКЛЮЧЕНИЕ

В работе представлена минимальная по количеству кубитов (19 кубитов) квантовая схема, реализующая поиск ключа SDES по одной паре открытого и шифрованного текстов квантовым алгоритмом Гровера, в то время как в работе [13] соответствующая квантовая схема построена на 61 кубите.

С помощью квантового симулятора Quipper проведена симуляция работы построенных квантовых схем для 18 и 25 итераций Гровера, получены соответствующие распределения вероятностей успеха алгоритма Гровера в задаче поиска ключа SDES для случаев, когда для известной пары блоков открытого и шифрованного текстов (P, C) существует ровно один ключ $K \in V_{10}$, на котором $E_{SDES}(K, P) = C$, и два ключа $K_1, K_2 \in V_{10}$, на которых $E_{SDES}(K_1, P) = C$ и $E_{SDES}(K_2, P) = C$.

Контрольный пример учебного алгоритма блочного шифрования SDES приведен в Приложении 1, программная реализация алгоритма Гровера в задачах поиска одного и двух целевых значений представлена в Приложениях 2 и 3. Программная реализация поиска ключа SDES квантовым алгоритмом Гровера в квантовом симуляторе Quipper представлена в Приложении 4.

ПРИЛОЖЕНИЕ 1

Контрольный пример SDES

Выберем блок открытого текста $P = 00101000$ и $K = 1100011110$. Формирование раундового ключа k_1 :

| Номера битов | 1 | 2 | 3 | 4 | 5 | 6 | 7 | 8 | 9 | 10 |
|--------------------------|---|---|---|---|---|---|---|---|---|----|
| K | 1 | 1 | 0 | 0 | 0 | 1 | 1 | 1 | 1 | 0 |
| $P10(K)$ | 0 | 0 | 1 | 1 | 0 | 0 | 1 | 1 | 1 | 1 |
| $LS-1(P10(K))$ | 0 | 1 | 1 | 0 | 0 | 1 | 1 | 1 | 1 | 1 |
| $k_1 = P8(LS-1(P10(K)))$ | 1 | 1 | 1 | 0 | 1 | 0 | 0 | 1 | | |

Формирование раундового ключа k_2 :

| Номера битов | 1 | 2 | 3 | 4 | 5 | 6 | 7 | 8 | 9 | 10 |
|--------------------------|---|---|---|---|---|---|---|---|---|----|
| K | 1 | 1 | 0 | 0 | 0 | 1 | 1 | 1 | 1 | 0 |
| $P10(K)$ | 0 | 0 | 1 | 1 | 0 | 0 | 1 | 1 | 1 | 1 |
| $LS-3(P10(K))$ | 1 | 0 | 0 | 0 | 1 | 1 | 1 | 0 | 1 | 1 |
| $k_2 = P8(LS-3(P10(K)))$ | 1 | 0 | 1 | 0 | 0 | 1 | 1 | 1 | | |

В рассматриваемом примере $P = 00101000$, $IP(P) = 00100010$.

1. Выберем $P = 00101000$ и $K = 1100011110$.
2. $IP(P) = 00100010$.
3. $f_{k_1}(L, R) = f_{11101001}(00100010) = (0010 \oplus F(0010, 11101001), 0010)$.
4. $F(0010, 11101001) = P4 \circ S\text{boxes} \circ (11101001 \oplus E/P(0010))$:

| Номера битов | 1 | 2 | 3 | 4 | 5 | 6 | 7 | 8 |
|-------------------------------------|---|---|---|---|---|---|---|---|
| R | 0 | 0 | 1 | 0 | | | | |
| $E/P(R)$ | 0 | 0 | 0 | 1 | 0 | 1 | 0 | 0 |
| k_1 | 1 | 1 | 1 | 0 | 1 | 0 | 0 | 1 |
| $E/P(R) \oplus k_1$ | 1 | 1 | 1 | 1 | 1 | 1 | 0 | 1 |
| $S\text{boxes}(E/P(R) \oplus k_1)$ | 1 | 0 | 0 | 0 | | | | |
| $P4(S\text{boxes}(E/P) \oplus k_1)$ | 0 | 0 | 0 | 1 | | | | |

5. Вычислили $F(0010, 11101001) = 0001$, получили $f_{k_1}(L, R) = (0011, 0010)$.
6. $SW(0011, 0010) = (0010, 0011)$.
7. $f_{k_2}(L, R) = f_{10100111}(00100011) = (0010 \oplus F(0011, 10100111), 0011)$:

| Номера битов | 1 | 2 | 3 | 4 | 5 | 6 | 7 | 8 |
|-------------------------------------|---|---|---|---|---|---|---|---|
| R | 0 | 0 | 1 | 1 | | | | |
| $E/P(R)$ | 1 | 0 | 0 | 1 | 0 | 1 | 1 | 0 |
| k_2 | 1 | 0 | 1 | 0 | 0 | 1 | 1 | 1 |
| $E/P(R) \oplus k_2$ | 0 | 0 | 1 | 1 | 0 | 0 | 0 | 1 |
| $S\text{boxes}(E/P(R) \oplus k_2)$ | 1 | 0 | 1 | 0 | | | | |
| $P4(S\text{boxes}(E/P) \oplus k_2)$ | 0 | 0 | 1 | 1 | | | | |

8. Вычислили $F(0011, 10100111) = 0011$, получили $f_{k_2}(L, R) = (0001, 0011)$.
9. Применили IP^{-1} :

| Номера битов | 1 | 2 | 3 | 4 | 5 | 6 | 7 | 8 |
|-----------------|---|---|---|---|---|---|---|---|
| L, R | 0 | 0 | 0 | 1 | 0 | 0 | 1 | 1 |
| $IP^{-1}(L, R)$ | 1 | 0 | 0 | 0 | 1 | 0 | 1 | 0 |

Примеры результатов зашифровывания на ключе $K = 1100011110$:

$$\begin{aligned}
 E_{SDES}(K, 00101000) &= 10001010, \\
 E_{SDES}(K, 10001101) &= 11010000, \\
 E_{SDES}(K, 11110010) &= 11011010, \\
 E_{SDES}(K, 01010111) &= 01100000.
 \end{aligned}$$

ПРИЛОЖЕНИЕ 2

Поиск одного целевого значения с помощью алгоритма Гровера

Пусть $N = 2^3$, $M = 1$, целевое значение TargetValue=7. Определим вероятности успеха поиска целевого значения в зависимости от количества итераций алгоритма Гровера.

Листинг 1. Программная реализация в пакете Wolfram Mathematica

```

1 TargetValue=7; (*Зададим номер элемента, который хотим получить в результате измерения кубитов*)
2 NumberOfQubits=3; (*определили количество кубитов*)
3 H= HadamardMatrix[2^NumberOfQubits];
4 (*Инициализировали матрицу Адамара*)
5 Numb=2^NumberOfQubits; (*ввели дополнительную переменную для более короткой записи*)
6 matrixD=ConstantArray[ConstantArray[2/Numb,Numb],Numb]-IdentityMatrix[Numb];
7 (*Инициализировали матрицу D (рассеивание Гровера)*/
8 Print["Матрица Адамара: \n ",MatrixForm[H]];

```

$$H = \begin{pmatrix} \frac{1}{2\sqrt{2}} & \frac{1}{2\sqrt{2}} \\ \frac{1}{2\sqrt{2}} & \frac{1}{2\sqrt{2}} & \frac{1}{2\sqrt{2}} & \frac{1}{2\sqrt{2}} & -\frac{1}{2\sqrt{2}} & -\frac{1}{2\sqrt{2}} & -\frac{1}{2\sqrt{2}} & -\frac{1}{2\sqrt{2}} \\ \frac{1}{2\sqrt{2}} & \frac{1}{2\sqrt{2}} & -\frac{1}{2\sqrt{2}} & -\frac{1}{2\sqrt{2}} & -\frac{1}{2\sqrt{2}} & -\frac{1}{2\sqrt{2}} & \frac{1}{2\sqrt{2}} & \frac{1}{2\sqrt{2}} \\ \frac{1}{2\sqrt{2}} & \frac{1}{2\sqrt{2}} & -\frac{1}{2\sqrt{2}} & -\frac{1}{2\sqrt{2}} & \frac{1}{2\sqrt{2}} & \frac{1}{2\sqrt{2}} & -\frac{1}{2\sqrt{2}} & -\frac{1}{2\sqrt{2}} \\ \frac{1}{2\sqrt{2}} & -\frac{1}{2\sqrt{2}} & -\frac{1}{2\sqrt{2}} & \frac{1}{2\sqrt{2}} & \frac{1}{2\sqrt{2}} & -\frac{1}{2\sqrt{2}} & -\frac{1}{2\sqrt{2}} & \frac{1}{2\sqrt{2}} \\ \frac{1}{2\sqrt{2}} & -\frac{1}{2\sqrt{2}} & -\frac{1}{2\sqrt{2}} & \frac{1}{2\sqrt{2}} & -\frac{1}{2\sqrt{2}} & \frac{1}{2\sqrt{2}} & \frac{1}{2\sqrt{2}} & -\frac{1}{2\sqrt{2}} \\ \frac{1}{2\sqrt{2}} & -\frac{1}{2\sqrt{2}} & \frac{1}{2\sqrt{2}} & -\frac{1}{2\sqrt{2}} & -\frac{1}{2\sqrt{2}} & \frac{1}{2\sqrt{2}} & -\frac{1}{2\sqrt{2}} & \frac{1}{2\sqrt{2}} \\ \frac{1}{2\sqrt{2}} & \frac{1}{2\sqrt{2}} & \frac{1}{2\sqrt{2}} & -\frac{1}{2\sqrt{2}} & \frac{1}{2\sqrt{2}} & -\frac{1}{2\sqrt{2}} & \frac{1}{2\sqrt{2}} & -\frac{1}{2\sqrt{2}} \end{pmatrix}$$

```
9 Print["Матрица D (рассеивание Гровера): \n ",MatrixForm[matrixD]]; 
```

$$D = \begin{pmatrix} -\frac{3}{4} & \frac{1}{4} \\ \frac{1}{4} & -\frac{3}{4} & \frac{1}{4} & \frac{1}{4} & \frac{1}{4} & \frac{1}{4} & \frac{1}{4} & \frac{1}{4} \\ \frac{1}{4} & \frac{1}{4} & -\frac{3}{4} & \frac{1}{4} & \frac{1}{4} & \frac{1}{4} & \frac{1}{4} & \frac{1}{4} \\ \frac{1}{4} & \frac{1}{4} & \frac{1}{4} & -\frac{3}{4} & \frac{1}{4} & \frac{1}{4} & \frac{1}{4} & \frac{1}{4} \\ \frac{1}{4} & \frac{1}{4} & \frac{1}{4} & \frac{1}{4} & -\frac{3}{4} & \frac{1}{4} & \frac{1}{4} & \frac{1}{4} \\ \frac{1}{4} & \frac{1}{4} & \frac{1}{4} & \frac{1}{4} & \frac{1}{4} & -\frac{3}{4} & \frac{1}{4} & \frac{1}{4} \\ \frac{1}{4} & \frac{1}{4} & \frac{1}{4} & \frac{1}{4} & \frac{1}{4} & \frac{1}{4} & -\frac{3}{4} & \frac{1}{4} \\ \frac{1}{4} & -\frac{3}{4} \end{pmatrix}$$

```

10 FirstState=ConstantArray[0,2^Number0fQubits];
11 FirstState[[1]]=1;
12 (*Инициализировали начальное состояние*)
13 Print["Инициализировали начальное состояние:",FirstState];

```

$$\text{FirstState} = \{1, 0, 0, 0, 0, 0, 0, 0\}$$

```

14 State=FirstState.H; (*Применили гейты Адамара к каждому кубиту,
т.е. умножили вектор FirstState на матрицу H*)

```

$$State = \left\{ \frac{1}{2\sqrt{2}}, \frac{1}{2\sqrt{2}}, \frac{1}{2\sqrt{2}}, \frac{1}{2\sqrt{2}}, \frac{1}{2\sqrt{2}}, \frac{1}{2\sqrt{2}}, \frac{1}{2\sqrt{2}}, \frac{1}{2\sqrt{2}} \right\}$$

```

15 i=0;
16 Print["Итерация №", i, " вероятность успеха = ", N[(State[[TargetValue]]*State[[TargetValue]])], " вероятность неудачи = ",
N[(1-State[[TargetValue]]*State[[TargetValue]])] ];

```

Итерация №0, вероятность успеха = 0.125, вероятность неудачи = 0.875;

```

17 (*Изменение знака амплитуды целевого значения*)
18 State[[TargetValue]]=(-1)*State[[TargetValue]];
19 Print["изменили знак у целевого значения: \n",State];

```

$$State = \left\{ \frac{1}{2\sqrt{2}}, \frac{1}{2\sqrt{2}}, \frac{1}{2\sqrt{2}}, \frac{1}{2\sqrt{2}}, \frac{1}{2\sqrt{2}}, \frac{1}{2\sqrt{2}}, -\frac{1}{2\sqrt{2}}, \frac{1}{2\sqrt{2}} \right\}$$

```

20 State=State.matrixD; (*Применили рассеивание Гровера, умножили State на матрицу D*)
21 Print["Применили рассеивание Гровера, умножили State на матрицу D: \n",State];

```

$$State = \left\{ \frac{1}{4\sqrt{2}}, \frac{1}{4\sqrt{2}}, \frac{1}{4\sqrt{2}}, \frac{1}{4\sqrt{2}}, \frac{1}{4\sqrt{2}}, \frac{1}{4\sqrt{2}}, \frac{5}{4\sqrt{2}}, \frac{1}{4\sqrt{2}} \right\}$$

```

22 i=1;
23 Print["Итерация №", i, " вероятность успеха = ", N[(State[[TargetValue]]*State[[TargetValue]])], " вероятность неудачи = ", N[(1-State[[TargetValue]]*State[[TargetValue]])] ];

```

Итерация №1, вероятность успеха = 0.78125, вероятность неудачи = 0.21875

```

24 NumberOfGroverIterations=30;
25 (*задали количество итераций, например 30*)
26 For[i=2,i<=NumberOfGroverIterations,i++,
27 State[[TargetValue]]=(-1)*State[[TargetValue]];
(*изменили знак у целевого значения*)
28 State=State.matrixD; (*Применили рассеивание Гровера, умножили State на матрицу D*)
29 p=State[[TargetValue]]*State[[TargetValue]];
30 Print["Итерация №", i, " вероятность успеха = ", N[p]," вероятность неудачи = ", N[1-p]];
31 ]

```

Рассчитаем вероятности успешного поиска целевого значения ($\text{TargetValue}=7$) в зависимости от количества итераций алгоритма Гровера на трех кубитах (см. табл. 6). Оптимальное количество итераций Гровера в рассматриваемом примере оценивается величиной $\left[\frac{\pi}{4}\sqrt{\frac{2^3}{1}}\right] = [2.221441469079183] = 2$.

Таблица 6

| Номер итерации Гровера | Вероятность успеха алгоритма Гровера, т. е. вероятность получить в результате измерения кубитов TargetValue=7 | Вероятность неудачи алгоритма Гровера, т. е. вероятность получить в результате измерения кубитов TargetValue≠7 |
|------------------------|---|--|
| 1 | 0.78125 | 0.21875 |
| 2 | 0.945313 | 0.0546875 |
| 3 | 0.330078 | 0.669922 |
| 4 | 0.012207 | 0.987793 |
| 5 | 0.547974 | 0.452026 |
| 6 | 0.999786 | 0.000213623 |
| 7 | 0.576973 | 0.423027 |
| 8 | 0.0194569 | 0.980543 |
| 9 | 0.302891 | 0.697109 |
| 10 | 0.931266 | 0.068734 |
| 11 | 0.804925 | 0.195075 |
| 12 | 0.144965 | 0.855035 |
| 13 | 0.106316 | 0.893684 |
| 14 | 0.756614 | 0.243386 |
| 15 | 0.957837 | 0.0421627 |
| 16 | 0.357846 | 0.642154 |
| 17 | 0.0066241 | 0.993376 |
| 18 | 0.51881 | 0.48119 |
| 19 | 0.998078 | 0.00192151 |
| 20 | 0.605709 | 0.394291 |
| 21 | 0.0283488 | 0.971651 |
| 22 | 0.276378 | 0.723622 |
| 23 | 0.915746 | 0.0842543 |
| 24 | 0.827558 | 0.172442 |
| 25 | 0.166144 | 0.833856 |
| 26 | 0.0889775 | 0.911022 |
| 27 | 0.7311 | 0.2689 |
| 28 | 0.968798 | 0.0312024 |

ПРИЛОЖЕНИЕ 3

Поиск одного из двух целевых значений с помощью алгоритма Гровера

Пусть $N = 2^{10}$, $M = 2$, целевое значение TargetValue $\in \{151, 223\}$. Определим вероятности успеха поиска целевого значения в зависимости от количества итераций алгоритма Гровера (см. табл. 7). Оптимальное количество итераций Гровера в рассматриваемом примере оценивается величиной $\left[\frac{\pi}{4} \sqrt{\frac{2^{10}}{2}}\right] = [17.771531752633464] = 18$.

Таблица 7

| Номер итерации Гровера | Вероятность успеха алгоритма Гровера, т. е. вероятность получить в результате измерения кубитов одно из TargetValues = {151,223} | Вероятность неудачи алгоритма Гровера, т. е. вероятность получить в результате измерения кубитов значение не из TargetValues |
|------------------------|--|--|
| 1 | 0.0174867 | 0.982513 |
| 2 | 0.0480693 | 0.951931 |
| 3 | 0.0927473 | 0.907253 |
| 4 | 0.150127 | 0.849873 |
| 5 | 0.218419 | 0.781581 |
| 6 | 0.295493 | 0.704507 |
| 7 | 0.378945 | 0.621055 |
| 8 | 0.466173 | 0.533827 |
| 9 | 0.554456 | 0.445544 |
| 10 | 0.641041 | 0.358959 |
| 11 | 0.723227 | 0.276773 |
| 12 | 0.79845 | 0.20155 |
| 13 | 0.864365 | 0.135635 |
| 14 | 0.918916 | 0.0810837 |
| 15 | 0.960402 | 0.0395983 |
| 16 | 0.987528 | 0.0124724 |
| 17 | 0.999448 | 0.000551974 |
| 18 | 0.995791 | 0.0042088 |
| 19 | 0.976671 | 0.0233288 |
| 20 | 0.942684 | 0.0573158 |
| 21 | 0.89489 | 0.10511 |
| 22 | 0.83478 | 0.16522 |
| 23 | 0.764229 | 0.235771 |
| 24 | 0.685436 | 0.314564 |
| 25 | 0.60086 | 0.39914 |
| 26 | 0.513139 | 0.486861 |
| 27 | 0.425007 | 0.574993 |
| 28 | 0.339214 | 0.660786 |

Листинг 2. Программная реализация в пакете Wolfram Mathematica

```

1 (*Случай когда несколько искомых номеров*)
2 TargetValues={151,223}; (*исковые номера*)
3 NumberOfQubits=10; (*определенли количество кубитов*)
4 H= HadamardMatrix[2^NumberOfQubits]; (*Инициализировали матрицу Адамара*)
5 Numb=2^NumberOfQubits; (*ввели доп. переменную для более короткой записи*)

```

```

6 matrixD=ConstantArray[ConstantArray[2/Numb,Numb],Numb]-IdentityMatrix[Numb];
7 (*Инициализировали матрицу D (рассеивание Гровера)*)
8 FirstState=ConstantArray[0,2^NumberofQubits];
9 FirstState[[1]]=1; (*Инициализировали начальное состояние*)
10 State=FirstState.H;
11 (*Применили гейты Адамара к каждому кубиту, т.е. умножили вектор FirstState на матрицу H*)


$$p = \sum_{k=1}^{\text{Length}[\text{TargetValues}]} \text{State} [[\text{TargetValues} [[k]]]] * \text{State} [[\text{TargetValues} [[k]]]];$$


12 i=0;Print["Итерация №", i ,", вероятность успеха = ", N[p],",
    вероятность неудачи = ", N[1-p]];
13 (*Изменение знака у амплитуды целевого значения*)
14 For[i=1,i<=Length[TargetValues],i++,
15 State[[ TargetValues[[i]] ]]=(-1)*State[[ TargetValues[[i]] ]]];    ];
16 State=State.matrixD;
17 (*Применили рассеивание Гровера, умножили вектор State на матрицу D*)


$$p = \sum_{k=1}^{\text{Length}[\text{TargetValues}]} \text{State} [[\text{TargetValues} [[k]]]] * \text{State} [[\text{TargetValues} [[k]]]];$$


18 Print["Итерация №", i ,", вероятность успеха = ", N[p],", вероятность неудачи = ", N[1-p]];
19 NumberOfGroverIterations=30;
20 (*задали количество итераций Гровера*)
21 For[i=2,i<=NumberOfGroverIterations,i++,
22 For[j=1,j<=Length[TargetValues],j++,
23 State[[TargetValues[[j]]]]=(-1)*State[[TargetValues[[j]]]]];];
24 State=State.matrixD;


$$p = \sum_{k=1}^{\text{Length}[\text{TargetValues}]} \text{State} [[\text{TargetValues} [[k]]]] * \text{State} [[\text{TargetValues} [[k]]]];$$


25 Print["Итерация №", i ,", вероятность успеха = ", N[p],", вероятность неудачи = ", N[1-p]];]

```

Вероятность успеха после 17 итераций Гровера оказалась чуть больше, чем вероятность успеха после 18 итераций Гровера. Это ничему не противоречит, так как $\left[\frac{\pi}{4}\sqrt{\frac{N}{M}}\right]$ — верхняя оценка числа итераций (см. [12], с. 318).

ПРИЛОЖЕНИЕ 4

Программная реализация алгоритма Гровера для поиска ключа SDES по паре открытого и шифрованного текстов на квантовом симуляторе Quipper

Программная реализация представляет собой три файла:

- 1) QSDES.hs — реализация алгоритма SDES,
- 2) Grover.hs — реализация алгоритма Гровера на базе QSDES,
- 3) Main.hs — запуск симуляции квантовой схемы.

Приведем содержимое указанных файлов.

QSDES.HS

```

1 module QSDES where
2 -- Модуль квантовой реализации схемы шифрования SDES
3
4 import Quipper

```

```

5 import QuipperLib.Simulation
6 import System.Random
7 import Quipper.Printing
8 import Quipper.QData
9
10 --Суммирование с ключом
11 sum_qubit :: ([Qubit], [Qubit]) -> Circ [Qubit]
12 sum_qubit ([k0, k1, k2, k3], [x0, x1, x2, x3]) = do
13   qnot_at x0 `controlled` [k0]
14   qnot_at x1 `controlled` [k1]
15   qnot_at x2 `controlled` [k2]
16   qnot_at x3 `controlled` [k3]
17   return [x0, x1, x2, x3]

19 -- S0
20 s0_box :: ([Qubit], [Qubit]) -> Circ [Qubit]
21 s0_box ([x0, x1, x2, x3], [s0, s1]) = do
22   comment "S0_box"
23   qnot_at s0 `controlled` [x3]
24   qnot_at s0 `controlled` [x0, x1, x2, x3]
25   qnot_at s0 `controlled` [x0, x2]
26   x0 <- gate_X x0
27   qnot_at s0 `controlled` [x0, x1]
28   x2 <- gate_X x2
29   qnot_at s1 `controlled` [x0, x2]
30   x0 <- gate_X x0
31   qnot_at s1 `controlled` [x0, x1, x2, x3]
32   x1 <- gate_X x1
33   qnot_at s1 `controlled` [x0, x1]
34   x3 <- gate_X x3
35   qnot_at s1 `controlled` [x0, x3]
36   x1 <- gate_X x1
37   x2 <- gate_X x2
38   x3 <- gate_X x3
39   return [s0, s1]
40
41 -- S1
42 s1_box :: ([Qubit], [Qubit]) -> Circ [Qubit]
43 s1_box ([x0, x1, x2, x3], [s2, s3]) = do
44   comment "S1_box"
45   qnot_at s2 `controlled` [x1]
46   qnot_at s3 `controlled` [x0, x2, x3]
47   x3 <- gate_X x3
48   qnot_at s3 `controlled` [x0, x3]
49   qnot_at s2 `controlled` [x0, x3]
50   x1 <- gate_X x1
51   qnot_at s2 `controlled` [x0, x1, x2, x3]
52   qnot_at s3 `controlled` [x2, x3]
53   x2 <- gate_X x2
54   x3 <- gate_X x3
55   qnot_at s2 `controlled` [x2, x3]

```

```

56 x0 <- gate_X x0
57 x1 <- gate_X x1
58 qnot_at s3 'controlled' [x0, x1, x3]
59 x0 <- gate_X x0
60 x2 <- gate_X x2
61 return [s2, s3]
62
63 -----1 раунд-----
64
65 round1 :: ([Qubit], [Qubit]) -> Circ [Qubit]
66 round1 ([k0, k1, k2, k3, k4, k5, k6, k7, k8, k9], [x0, x1, x2, x3, x4, x5, x6, x7]) = do
67   comment "ROUND_1"
68
69   [x6, x3, x7, x4] <- sum_qubit ([k0, k6, k8, k3], [x6, x3, x7, x4])
70   [x0, x1] <- s0_box ([x6, x3, x7, x4], [x0, x1])
71   [x6, x3, x7, x4] <- sum_qubit ([k0, k6, k8, k3], [x6, x3, x7, x4])
72
73   [x7, x4, x6, x3] <- sum_qubit ([k7, k2, k9, k5], [x7, x4, x6, x3])
74   [x2, x5] <- s1_box ([x7, x4, x6, x3], [x2, x5])
75   [x7, x4, x6, x3] <- sum_qubit ([k7, k2, k9, k5], [x7, x4, x6, x3])
76
77   return [x0, x1, x2, x3, x4, x5, x6, x7]
78
79 -----2 раунд-----
80
81 round2 :: ([Qubit], [Qubit]) -> Circ [Qubit]
82 round2 ([k0, k1, k2, k3, k4, k5, k6, k7, k8, k9], [x0, x1, x2, x3, x4, x5, x6, x7]) = do
83   comment "ROUND_2"
84
85   [x0, x1, x5, x2] <- sum_qubit ([k7, k2, k5, k4], [x0, x1, x5, x2])
86   [x6, x3] <- s0_box ([x0, x1, x5, x2], [x6, x3])
87   [x0, x1, x5, x2] <- sum_qubit ([k7, k2, k5, k4], [x0, x1, x5, x2])
88
89   [x5, x2, x0, x1] <- sum_qubit ([k9, k1, k8, k0], [x5, x2, x0, x1])
90   [x4, x7] <- s1_box ([x5, x2, x0, x1], [x4, x7])
91   [x5, x2, x0, x1] <- sum_qubit ([k9, k1, k8, k0], [x5, x2, x0, x1])
92
93   return [x0, x1, x2, x3, x4, x5, x6, x7]
94
95 -- Схема QSDES ("прямая").
96 sdes :: ([Qubit], [Qubit]) -> Circ ([Qubit], [Qubit])
97 sdes (key, plaintext) = do
98   let [k0, k1, k2, k3, k4, k5, k6, k7, k8, k9] = key
99   let [x0, x1, x2, x3, x4, x5, x6, x7] = plaintext
100
101  comment_with_label "Key"
102  (k0, k1, k2, k3, k4, k5, k6, k7, k8, k9)
103  ("k0", "k1", "k2", "k3", "k4", "k5", "k6", "k7", "k8", "k9")
104
105  comment_with_label "Plaintext"
106  (x0, x1, x2, x3, x4, x5, x6, x7)
107  ("x0", "x1", "x2", "x3", "x4", "x5", "x6", "x7")

```

```

108
109 [x0, x1, x2, x3, x4, x5, x6, x7] <- round1 ([k0, k1, k2, k3, k4, k5, k6, k7, k8, k9],
110 [x0, x1, x2, x3, x4, x5, x6, x7])
111 [x0, x1, x2, x3, x4, x5, x6, x7] <- round2 ([k0, k1, k2, k3, k4, k5, k6, k7, k8, k9],
112 [x0, x1, x2, x3, x4, x5, x6, x7])
113 swap x6 x0
114 swap x3 x1
115 swap x4 x2
116 swap x5 x7
117 return ([k0, k1, k2, k3, k4, k5, k6, k7, k8, k9], [x0, x1, x2, x3, x4, x5, x6, x7])
118
119 -- Схема QSDES ("обращенная").
120 sdes_reverse :: ([Qubit], [Qubit]) -> Circ ([Qubit], [Qubit])
121 sdes_reverse = reverse_generic_endo sdes
122
123 -- Тестовая схема QSDES с ключом, приводимым в суперпозицию.
124 -- Используется для теста № 2.
125 sdes_key_superposition :: [Bool] -> Circ ([Qubit], [Qubit])
126 sdes_key_superposition plaintext = do
127   key_in_superposition <- qinit (replicate 10 False)
128   mapUnary hadamard key_in_superposition
129   plaintext <- qinit plaintext
130   (key, cyphertext) <- sdes (key_in_superposition, plaintext)
131   return (key, cyphertext)

```

GROVER.HS

```

1 module Grover where
2 -- Алгоритм Гровера для QSDES
3
4 import Quipper
5 import Quipper.QData
6 import QSDES
7 -- Оракул для QSDES.
8 sdes_oracle :: ([Qubit], [Qubit], [Bool], Qubit) -> Circ Qubit
9 sdes_oracle (key, plaintext, cyphertext_bool, oracle) = do
10   (key, cyphertext) <- sdes (key, plaintext)
11   qnot_at oracle `controlled` cyphertext .==. cyphertext_bool
12   (key, plaintext) <- sdes_reverse (key, cyphertext)
13   return oracle
14 -- Схема inversion about the mean или Conditional Phase Flip (CPF)
15 inversion_about_mean :: [Qubit] -> Circ [Qubit]
16 inversion_about_mean top_qubits = do
17   comment "start inversion about mean"
18   mapUnary hadamard top_qubits
19   mapUnary gate_X top_qubits
20   let pos = (length top_qubits) - 1
21   let target_qubit = top_qubits !! pos
22   let controlled_qubit = take pos top_qubits

```

```

23 hadamard_at target_qubit
24 qnot_at target_qubit 'controlled' controlled_qubit
25 hadamard_at target_qubit
26 mapUnary gate_X top_qubits
27 mapUnary hadamard top_qubits
28 comment "end inversion about mean"
29 return top_qubits
30 -- Алгоритм Гровера для QSDES
31 grover_search_circuit_sdes :: (Int, [Bool], [Bool]) -> Circ ([Bit], Bit)
32 grover_search_circuit_sdes (iterations_num, plaintext, cyphertext) = do
33   key <- qinit (replicate 10 False)
34   plaintext <- qinit plaintext
35   oracle <- qinit True
36   mapUnary hadamard key
37   hadamard_at oracle
38   -- Начало итераций Гровера
39   let index = iterations_num
40   for 1 (index) 1 $ \i -> do
41     comment "start grover iteration"
42     oracle <- sdes_oracle (key, plaintext, cyphertext, oracle)
43     key <- inversion_about_mean key
44     comment "after grover iteration"
45   endfor
46   -- Измерение кубитов, возвращение результата.
47   hadamard_at oracle
48   (key, oracle) <- measure (key, oracle)
49   --cdiscard oracle
50   return (key, oracle)

```

MAIN.HS

```

1 module Main where
2 -- Основной модуль. Запуск примеров.
3
4 import System.Random
5 import Data.Time
6 import Quipper
7 import Quipper.Printing
8 import QuipperLib.Simulation
9 import Quipper.QData
10 import QSDES
11 import Grover
12
13 -- ЗАПУСК ПРОГРАММЫ
14 main :: IO ()
15 --main = test1_circuit
16 main = test3_exec --25 итераций Гровера, выведет распределение ключей.
17
18 -- Тест функциональности. Проверка правильности составления схемы.
19 test1_circuit :: IO ()
20 test1_circuit = do

```

```

21 putStrLn "QSDES functionality test:"
22 print_generic GateCount sdes ((replicate 10 qubit),(replicate 8 qubit))
23 print_generic PDF sdes ((replicate 10 qubit),(replicate 8 qubit))
24
25 test1_exec :: IO ()
26 test1_exec = do
27 putStrLn "QSDES functionality test:"
28 print_generic GateCount sdes ((replicate 10 qubit),(replicate 8 qubit))
29 g <- newStdGen
30 print $ run_generic g (0.0 :: Double) sdes ([True,True,False,False,True,
      True,True,True,False], [False,False,True,False,True,False,False])
31 print $ run_generic g (0.0 :: Double) sdes ([True,True,False,False,False,True,True,
      True,True,False], [True,False,False,False,True,True,False,True])
32 print $ run_generic g (0.0 :: Double) sdes ([True,True,False,False,False,True,True,
      True,True,False], [True,True,True,False,False,True,False])
33 print $ run_generic g (0.0 :: Double) sdes ([True,True,False,False,False,True,True,
      True,True,False], [False,True,False,False,True,True,True])
34
35 -- Тест схемы при приведении ключевых кубитов в суперпозицию.
36 test2_circuit :: IO ()
37 test2_circuit = do
38 putStrLn "QSDES results when key is in superposition:"
39 print_generic PDF (sdes_key_superposition [True,False,False,True,True,False,True,False])
40
41 test2_exec :: IO ()
42 test2_exec = do
43 putStrLn "QSDES results when key is in superposition:"
44 -- t1 <- getZonedDateTime
45 -- putStrLn $ formatTime defaultTimeLocale "%FT%T%z" t1
46 g <- newStdGen
47 print $ sim_generic undefined (sdes_key_superposition
      ([True,False,False,True,False,True,False]))
48 -- t2 <- getZonedDateTime
49 -- putStrLn $ formatTime defaultTimeLocale "%FT%T%z" t2
50
51
52 -- Поиск ключа по паре открытого и закрытого текстов.
53 -- Пример с одним подходящим ключом.
54 test3_circuit :: IO()
55 test3_circuit = do
56 putStrLn "Quantum exhaustive key search (1 key):"
57 let parameters = (25,[False,False,False,True,False,False,False],
58 [False,False,True,True,False,True,True])
59 print_generic GateCount (grover_search_circuit_sdes parameters)
60 -- print_generic PDF (grover_search_circuit_sdes parameters)
61
62 test3_exec :: IO()
63 test3_exec = do
64 putStrLn "Quantum exhaustive key search (1 key):"
65 startTime <- getCurrentTime
66 let parameters = (25,[False,False,False,True,False,False,False,False],
      [False,False,True,True,False,True,True]) -- O.T., C.T.

```

```

67 g <- newStdGen
68 -- print $ run_generic g (0.0 :: Double) (grover_search_circuit_sdes parameters)
69 print_generic GateCount          (grover_search_circuit_sdes parameters)
70 print $ sim_generic undefined (grover_search_circuit_sdes parameters)
71 stopTime <- getCurrentTime
72 let deltaTime = show $ diffUTCTime stopTime startTime
73 putStrLn deltaTime
74
75 -- Поиск ключа по паре открытого и закрытого текстов.
76 -- Пример с двумя подходящими ключами.
77 test4_circuit :: IO()
78 test4_circuit = do
79   putStrLn "Quantum exhaustive key search (2 keys):"
80   let parameters = (18,[True,False,True,False,False,True,False,True],
81     [False,False,True,True,False,True,True,False])
82   print_generic GateCount (grover_search_circuit_sdes parameters)
83   -- print_generic PDF (grover_search_circuit_sdes parameters)
83
84 test4_exec :: IO()
85 test4_exec = do
86   putStrLn "Quantum exhaustive key search (2 keys):"
87   startTime <- getCurrentTime
88   let parameters = (18,[True,False,True,False,False,True,False,True],
89     [False,False,True,True,False,True,True,False])
89   print_generic GateCount (grover_search_circuit_sdes parameters)
90   g <- newStdGen
91   --print $ run_generic g (0.0 :: Double) (grover_search_circuit_sdes parameters)
92   print $ sim_generic undefined (grover_search_circuit_sdes parameters)
93   stopTime <- getCurrentTime
94   let deltaTime = show $ diffUTCTime stopTime startTime
95   putStrLn deltaTime

```

ЛИТЕРАТУРА

- [https://ai.googleblog.com/2018/03/a-preview-of-bristlecone-googles-new.html.](https://ai.googleblog.com/2018/03/a-preview-of-bristlecone-googles-new.html)
1. H. Bernien, S. Schwartz, A. Keesling, H. Levine, and A. Omran, *Nature* **551**, 579 (2017); DOI:10.1038/nature24622; arXiv:1707.04344.
 2. J. Zhang, G. Pagano, P. W. Hess, A. Kyprianidis, and P. Becker, *Nature* **551**, 601 (2017); DOI:10.1038/nature24654; arXiv:1708.01044.
 3. <https://www.ibm.com/blogs/research/2017/11/the-future-is-quantum/>.
 4. M. Veldhorst, H. G. J. Eenink, C. H. Yang, and A. S. Dzurak, *Nature Comm.* **8**, 1766 (2017); DOI:10.1038/s41467-017-01905-6; <https://doi.org/10.1038/s41467-017-01905-6>.
 5. C. S. Calude and E. Calude, arXiv:1712.01356v1.
 6. J. Kelly, *A Preview of Bristlecone, Google's New Quantum Processor. Quantum AI Lab*, 05.03.2018,
 7. P. W. Shor, *J. Comput.* **26**, 1484 (1997).
 8. D. R. Simon, *SIAM J. Comput.* **26**, 1474 (1997).
 9. M. Kaplan, G. Leurent, A. Leverrier et al., *Lect. Notes Comp. Sci.*, Vol. **9815**, Berlin, Springer-Verlag (2016).
 10. L. K. Grover, Proc. STOC 1996, in ed. by G. L. Miller, ACM (1996), p. 212.
 11. G. Brassard, P. Hoyer, M. Mosca et al., arXiv: quant-ph/0005055.
 12. М. Нильсен, И. Чанг, *Квантовые вычисления и квантовая информация*, Мир, Москва (2006).
 13. M. Almazrooie, A. Samsudin, R. Abdullah, and K. N. Mutter, *SpringerPlus* **5**, 1494 (2016); DOI: 10.1186/s40064-016-3159-4.

14. Квантовый симулятор *libquantum*, <http://www.libquantum.de>.
15. A. S. Green, P. L. Lumsdaine, N. J. Ross, P. Selinger, and B. Valiron, arXiv:1304.5485v1.
16. S. Siddiqui, M. J. Islam, and O. Shehab, arXiv:1406.4481v2 [quant-ph].
17. Квантовый симулятор *Quipper*, <http://www.mathstat.dal.ca/~selinger/quipper/>.
18. К. Шеннон, *Теория связи в секретных системах*, в кн. *Работы по теории информации и кибернетике*, Изд-во иностр. лит., Москва (1963), с. 333.